

УДК 630.832

ББК 39.97

## МОДЕЛИ АНАЛИЗА ЭФФЕКТИВНОСТИ И НАДЕЖНОСТИ ТОПЛИВОСНАБЖЕНИЯ С ЭНЕРГЕТИЧЕСКИХ ПЛАНТАЦИЙ

Губий Е.В.<sup>1</sup>

(Иркутский государственный университет, Иркутск)

Зоркальцев В.И.<sup>2</sup>

(Институт систем энергетики им. Л.А. Мелентьева, Иркутск)

### Введение

Уже с древних времен древесина была важнейшим источником энергии. Дрова использовались с давних времен и были долгое время основным видом топлива. Их использовали для отопления жилищ, приготовления еды, а позже и для изготовления оружия и предметов быта. В девятнадцатом столетии дрова отошли на второй план, уступив свое первенство углю, а с середины двадцатого столетия – нефти и природному газу. Интерес к древесине как источнику энергии снова впервые возник в 30 – 40-х годах прошлого века в Германии. Тогда и были созданы первые энергетические плантации. Однако широкое распространение использование биомассы произошло только в 1970-х годах в результате ценового шока, поразившего мировой рынок нефти. В связи с ситуацией, породившей энергетический кризис, люди задумались над поиском новых видов топлива, в том числе возобновляемых. С этого времени стал бурно изучаться вопрос использования биомассы и, в частности, древесины для нужд энергетики.

---

<sup>1</sup> Елена Валерьевна Губий, заместитель директора Ботанического сада Иркутского государственного университета (egubiy@gmail.com).

<sup>2</sup> Валерий Иванович Зоркальцев, доктор технических наук, профессор (zork@isem.sei.irk.ru).

Современная технологическая цепочка всего цикла заготовки биомассы от планирования площадки и посадок до эффективного сжигания предполагает минимальное использование ручного труда и максимально эффективное использование теплогенерирующего оборудования. Однако исключение любого звена из анализа и оптимизации в этой цепочке приводит к ухудшению экономических показателей. Безусловно, создание такой технологической цепочки требует существенных капитальных вложений. Однако происходящее постоянное повышение цен на традиционные энергоносители делает использование местных видов возобновляемого топлива зачастую более выгодным, особенно, в удаленных относительно изолированных регионах.

Нужно иметь ввиду и огромные экологические преимущества биотоплива. В отличии от ископаемых видов топлива, биотопливо не сопряжено с вовлечением в атмосферу новых объемов углерода и его оксидов, других продуктов угля и углеводородов. Кроме того, деньги, вложенные на закупку местного топлива, остаются в местном бюджете, а не выводятся за пределы региона. Принято считать, что каждые 10 тыс. МВт.ч тепловой энергии, произведенной с использованием местных видов биотоплива, создают одно новое рабочее место на заготовке биотоплива вне котельной, что очень важно для депрессивных сельских регионов, где это биотопливо и должно в первую очередь использоваться.

## **1. Модель комплексного анализа проекта**

Построим математическую модель для анализа эффективности энергетической плантации в относительно отдаленных поселках. Прежде всего, необходимо определить потребности в котельно - печном топливе для данного населенного пункта.

Одно из основных составляющих этой потребности – отопление жилищ. Обозначим  $Q$  за норматив потребления теплоэнергии на отопление жилых помещений в поселке численностью  $n$ , в данной климатической зоне. Он определяется как произведение годового удельного расхода теплоты на отопление 1 кв.м. площади и нормы жилищной обеспеченности (кв.м.общей площади на 1 человека):

$$(1) \quad Q = Q_g * n * 18.$$

Здесь:  $Q_g$  – годовой удельный расход теплоты на отопление 1 кв.м. площади в рассматриваемом природно-климатическом регионе; 18 – норматив жилищной обеспеченности (количество кв.м. жилой площади на 1 человека);  $n$  – численность населения в поселке.

Годовой расход теплоты на отопление 1 кв.м. общей площади жилых зданий определяется по формуле [3]

$$(2) \quad Q_g = g_h * \frac{t_{in} - t_{out}^m}{t_{in} - t_{out}} * 24 * d .$$

Здесь:  $g_h$  – максимальный часовой расход теплоты на отопление 1 кв.м. общей площади жилых зданий, зависит от этажности (т.у.т./час);  $t_{in}$  – расчетная температура внутреннего воздуха отапливаемых зданий ( $^{\circ}\text{C}$ );  $t_{out}$  – расчетная температура наружного воздуха для проектирования отопления ( $^{\circ}\text{C}$ );  $t_{out}^m$  – средняя температура наружного воздуха за отопительный сезон ( $^{\circ}\text{C}$ ); 24 – продолжительность работы систем отопления в сутки (час);  $d$  – средняя продолжительность отопительного сезона (сутки).

Для упрощения можем считать, что площадь плантаций представляет собой круг с радиусом  $r$  и центром в населенном пункте. Круг разделен на  $t$  равных сегментов. Количество сегментов равно сроку созревания древесины (количеству лет). Каждый год на одном из сегментов осенью осуществляются лесозаготовки, а весной – посадки.

Обозначим  $S(r, t)$  – площадь сегмента, с которого в данном году осуществляются лесозаготовки (выраженная в квадратных километрах). Эта площадь определяется по формуле:

$$(3) \quad S(r, t) = \frac{\pi r^2}{t} .$$

Пусть  $f_i(t)$  – функция прироста древесины на единицу площади (количество т.у.т., накопленного в биомассе древесины на одном квадратном километре по прошествии  $t$  лет после посадки), где  $i$  – вид древесины,  $i = 1, \dots, k$ ,  $k$  – количество рассматриваемых видов древесины.

Обозначим  $R(i, r, t)$  объем годового производства топлива, зависящий от радиуса  $r$ , количества сегментов плантации  $t$ , а также от вида древесины  $i$ :

$$(4) \quad R(i, r, t) = S(r, t) f_i(t) .$$

Обозначим  $C(i, r, t)$  приведенные затраты на производство древесного топлива в зависимости от вида древесины  $i$ , радиуса  $r$  и количества секторов  $t$ . Эти затраты включают в себя инвестиции на создание всей производственной инфраструктуры, затраты на непосредственное выращивание растений, затраты на заготовку и обработку древесины.

На основе перечисленных показателей предлагается, в частности, исследовать **задачу определения оптимального срока произрастания  $t$  культуры  $i$  и радиуса лесной площади  $r$  для обеспечения заданного потребления в топливе с минимальными издержками**:

$$(5) \quad C(i, r, t) \rightarrow \min,$$

при условии, что объем годового производства топлива больше или равен потребности:

$$(6) \quad R(i, r, t) \geq Q .$$

При оценке потребности в котельно-печном топливе необходимо также учитывать его расходы на

пищеприготовление и санитарно-гигиенические нужды, на производственно-эксплуатационные нужды (в зависимости от располагаемых в этом поселке предприятий) и на социально-культурные нужды поселка. Суммарно эти дополнительные потребности могут составлять до 50% и более от годового расхода котельно-печного топлива в населенном пункте. Важно, что все эти виды потребностей существенно зависят от климатических характеристик региона, в котором размещен поселок.

Следует отметить, что возраст заготавливаемой древесины не должен превышать такой момент времени  $t$ , при котором впервые не выполняется условие среднегодового увеличения биомассы:

$$(7) \quad \frac{1}{t} f(t) \leq \frac{1}{t+1} f(t+1).$$

Отсюда следует, что необходимо ограничиться рассмотрением возраста древесины, не превышающей момент времени  $t$ , при котором впервые выполняется неравенство:

$$(8) \quad (f(t) - f(t-1)) \leq \frac{1}{t} f(t).$$

**Вторая задача:** выбор оптимального объема использования древесного топлива в зависимости от цены альтернативного топлива и численности населения:

$$(9) \quad C(i, r, t) + pL \rightarrow \min,$$

при условии

$$(10) \quad R(i, r, t) + L = Q.$$

Здесь  $L$  – объем использования альтернативного топлива (угля),  $p$  – цена альтернативного топлива (включая расходы на транспортировку) [1].

## 2. Математическая модель анализа надежности топливоснабжения

Одной из проблем такого топливоснабжения, требующей специальных исследований, является его надежность. Потребности в топливе и в производстве биомассы зависимы от случайных факторов. При анализе экономической эффективности необходимо учитывать затраты на мероприятие по обеспечению надежности топливоснабжения и возможные ущербы при возникновении дефицитных ситуаций. Данный раздел посвящен проблеме надежности и оптимизации резервов и запасов топливоснабжения на основе энергетических плантаций.

В приводимой далее модели рассматриваются две случайные величины, из-за которых возникает проблема надежности топливоснабжения. Одной из них является потребность в топливе, другой – производство топлива.

## **2.1. Колебания потребности в топливе**

Ограничимся исследованиями случайных отклонений потребности в топливе только на отопительные нужды. Они определяются случайными отклонениями продолжительности отопительного периода и случайными отклонениями среднезимних температур. Можем в первом приближении считать, что и другие составляющие потребности в котельно-печном топливе подвержены таким же случайным возмущениям (из-за действия метеорологических и других случайных возмущений).

Обобщенно оба указанные составляющие случайных отклонений потребности в топливе на отопление характеризуются колебаниями интегральной разности температур за отопительный период внутри и вне здания. Вероятность отклонения этого показателя от его среднего уровня оцениваются на основе данных многолетних метеорологических наблюдений.

В приводимых далее расчетах расход топлива на отопление в день  $j = 1, \dots, N_\tau$  отопительного сезона  $\tau$  считается

пропорциональным разнице между нормативной температурой воздуха в отапливаемых помещениях  $\hat{t}$  и среднесуточной температурой атмосферного воздуха в этот день  $t_{\tau j}$ . Здесь  $N_{\tau}$  – продолжительность в днях отопительного периода  $\tau$ . Даты его начала и окончания соответствуют дням, когда температура воздуха становится устойчиво в течении 5 дней ниже и, соответственно, устойчиво выше нормативного значения, принятого равным 8 градусам Цельсия [2].

Обобщенной характеристикой потребности в топливе на отопление за отопительный период  $\tau$  служит показатель интегральной разности температур, измеряемый в градусах днях,

$$(11) \quad Q_{\tau} = \sum_{t=1}^{N_{\tau j}} (\hat{t} - t_{\tau j}), \quad \tau = 1, \dots, G.$$

Здесь  $G$  – число ретроспективно рассматриваемых отопительных периодов.

Исходя из показателей  $Q_{\tau}, N_{\tau}$ , можно рассчитать среднесуточную за данный отопительный период разность температур внутри и вне зданий по формуле

$$(12) \quad O_{\tau} = \frac{Q_{\tau}}{N_{\tau}}, \quad \tau = 1, \dots, G.$$

Важными природно-климатическими характеристиками экономических районов являются средние многолетние показатели:

- интегральной разности температур за отопительный период

$$(13) \quad \bar{Q} = \frac{1}{G} \sum_{\tau=1}^G Q_{\tau},$$

- продолжительности отопительного периода

$$(14) \quad \bar{N} = \frac{1}{G} \sum_{\tau=1}^G N_{\tau},$$

- среднесуточной разности температур внутри и вне зданий за отопительный период

$$(15) \quad \bar{O} = \frac{\bar{Q}}{\bar{N}}.$$

Результаты расчета показателей  $\bar{Q}, \bar{N}, \bar{D}$  по городам Сибири представлены в табл. 1. Региональные центры в этой таблице упорядочены по мере убывания средней интегральной разности температур. Для сравнения можно отметить, что в центральных и южных районах России интегральная разность температур примерно в три раза ниже, чем в указанных сибирских регионах, как за счет сокращения продолжительности отопительных периодов, так и за счет повышения средних зимних температур (примерно в одной и той же мере). Это означает, что для отопления одних и тех же по конструкции зданий в центральных и южных районах требуется в год примерно в три раза меньше теплоэнергии и топлива, чем для отопления в сибирских регионах.

*Таблица 1. Климатические характеристики отопительного периода по ряду сибирских и дальневосточных регионов России*

| Город        | Средняя интегральная разность температур, градусов | Продолжительность отопительного периода, дни | Среднесуточная за отопительный период разность температур внутри и вне зданий, °C |
|--------------|--|--|---|
| Чита         | 6954,21  | 236,69                                       | 29,40   |
| Иркутск      | 6147,18  | 235,69                                       | 26,10   |
| Томск        | 6051,20  | 232,45                                       | 26,07   |
| Красноярск   | 5759,78  | 233,36                                       | 24,72   |
| Хабаровск    | 5558,83  | 206,63                                       | 26,92   |
| Екатеринбург | 5342,35  | 225,81                                       | 23,69   |
| Барнаул      | 5315,73  | 213,11                                       | 24,98   |
| Владивосток  | 4381,55  | 196,24                                       | 22,35   |

Для изучения колебаний расхода топлива на отопление используем показатель отклонения потребности в топливе на отопление в условиях отопительного периода  $\tau$  от среднеожидаемого уровня.

$$(16) \quad q_\tau = \frac{Q_\tau}{\bar{Q}}, \quad \tau = 1, \dots, G.$$

Важными характеристиками возможных отклонений потребности в топливе на отопление являются показатели:

- относительного возрастания в самые холодные из имевших место зим расхода топлива на отопление

$$(17) \quad \Delta_{\max} = \max_{\tau=1, \dots, G} (q_{\tau} - 1);$$

- снижение относительного среднеожидаемого уровня потребности в самые теплые из имевших место зим

$$(18) \quad \Delta_{\min} = \min_{\tau=1, \dots, G} (q_{\tau} - 1),$$

- диапазона (размах) вариации отклонений потребности

$$(19) \quad \Delta = \Delta_{\max} - \Delta_{\min}.$$

В качестве общей меры колебаемости потребности может служить показатель среднего абсолютного отклонения потребности от среднего уровня – интенсивность колебаний.

$$(24) \quad I = \frac{1}{G} \sum_{\tau=1}^G |q_{\tau} - 1|.$$

В табл. 2 представлены максимально возможные отклонения в сторону уменьшения и в сторону увеличения потребности в топливе на отопление от среднего уровня потребности, диапазон и интенсивность колебаний потребности в топливе на отопление. Региональные центры в табл. 2, как и в табл. 1, упорядочены по мере убывания средней интегральной разности температур.

Из табл. 2 четко видна закономерность – интенсивность и диапазон колебаний изменяются по регионам довольно синхронно, причем эти показатели в относительно теплых регионах выше, чем в относительно холодных. Исключением здесь является Хабаровск, который хоть и находится под влиянием резко-континентального климата, тем не менее, подвержен влиянию муссонов со стороны Тихого океана.

*Таблица 2. Показатели, характеризующие колебания потребности в топливе на отопление по региональным центрам России*

| Город        | Максимальные отклонения от среднемноголетнего уровня в сторону |            | Диапазон колебаний потребности, % | Интенсивность колебаний, % |
|--------------|--|------------|-----------------------------------|----------------------------|
|              | уменьшения   | увеличения |                                   |                            |
| Чита         | -0,308   | 0,152      | 46,1                              | 4,8                        |
| Иркутск      | -0,453   | 0,162      | 61,5                              | 6,1                        |
| Томск        | -0,404   | 0,185      | 59,0                              | 6,8                        |
| Красноярск   | -0,276   | 0,265      | 54,1                              | 6,3                        |
| Хабаровск    | -0,248   | 0,102      | 35,0                              | 4,9                        |
| Екатеринбург | -0,353   | 0,185      | 53,9                              | 7,4                        |
| Барнаул      | -0,321   | 0,321      | 64,3                              | 6,3                        |
| Владивосток  | -0,341   | 0,179      | 52,0                              | 5,5                        |

## 2.2. Математическая модель анализа и оптимизации средств обеспечения надежности топливоснабжения с энергетических плантаций

Обозначим случайные величины интегральной разности температур  $\tilde{Q}$ . Вероятность реализации этой случайной величины обозначим  $\tilde{P}(\tilde{Q})$ . Эта функция принимает положительные значения на некотором интервале  $[Q_1, Q_2]$ . Причем

$$(20) \quad \int_{Q_1}^{Q_2} \tilde{P}(\tilde{Q}) d\tilde{Q} = 1,$$

$$(21) \quad \int_{Q_1}^{Q_2} \tilde{P}(\tilde{Q}) * \tilde{Q} d\tilde{Q} = \bar{Q}.$$

Будем считать величину средней многолетней потребности в топливе на отопление для рассматриваемого населенного пункта заданной. Обозначим ее  $\hat{Q}$ . Случайные значения этой величины будем обозначать  $Q$ .

Считаем, что указанная случайная величина находится в интервале  $[kQ_1, kQ_2]$ , где  $k = \hat{Q}/\bar{Q}$ . Тогда вероятность ее реализации задается функцией

$$(22) \quad P(Q) = \tilde{P}(\tilde{Q}),$$

при  $Q = k\tilde{Q}$ .

Случайность при производстве топлива возникает из-за возможных колебаний урожайности. Считаем фиксированной среднюю ожидаемую величину поставок топлива к отопительному периоду, которую обозначим  $\bar{R}$ . Саму случайную величину поставок топлива обозначим  $\tilde{R}$ . Считаем, что эта величина находится в интервале  $[R_1, R_2]$ . Вероятность реализации данной случайной величины обозначим в виде функции  $\rho(\tilde{R})$ , которая принимает положительные значения на рассматриваемом интервале и удовлетворяет условиям

$$(23) \quad \int_{R_1}^{R_2} \rho(\tilde{R}) d\tilde{R} = 1,$$

$$(24) \quad \int_{R_1}^{R_2} \rho(\tilde{R}) \tilde{R} d\tilde{R} = \bar{R}.$$

Величины  $Q$  и  $R$  рассматриваются в модели как экзогенные случайные величины.

**Модель анализа надежности топливоснабжения.** Далее рассматривается модель, многократно имитирующая прохождение отопительного периода при различных реализациях указанных случайных величин. При этом в качестве экзогенных параметров модели функционирования в течении одного отопительного периода рассматриваются запасы топлива сохранившиеся с прошлого отопительного периода.

Величину этих запасов обозначим  $S$ . Хранение топлива сопровождается всегда некоторыми потерями. Обозначим за  $\alpha$  величину потери в результате хранения единицы топлива в течение года.

Еще одной переменной в модели выступает величина дефицита топлива за отопительный период. Эту величину обозначим  $D$ . Заметим, что значение запасов  $S$  на конец данного

периода и дефицита  $D$  являются случайными величинами, определяемыми в результате расчета по модели.

В данной статье в качестве стартовой будем рассматривать ситуацию, когда математическое ожидание потребности совпадает с математическим ожиданием поставок топлива

$$(25) \quad \hat{Q} = \bar{R}.$$

В общем случае это равенство, в том числе из-за погрешностей расчета среднего значения потребности может не выполняться. Необходимо предусматривать специальные дополнительные средства повышения надежности топливоснабжения для компенсации ошибок в расчетах среднеожидаемой потребности.

Обозначим  $f = 1, \dots, F$  номера статистических испытаний методом Монте–Карла по заданным функциям вероятности  $P$  и  $\rho$  случайных величин потребности в топливе  $Q_f$  и заготовок топлива  $R_f$ .

Считаем заданной величину запасов на начало первого периода статистических испытаний. Дефицит возникает, когда потребление превышает поставки и запасы прежних лет и определяется по формуле

$$(26) \quad D_f = (Q_f - R_f - S_f)_+.$$

Здесь функция  $(x)_+$  является неотрицательной с резко:

$$(27) \quad (x)_+ = \max\{0; x\}.$$

При этом оцениваются возможные остатки топлива на конец отопительного периода

$$(28) \quad H_f = (R_f + S_f - Q_f)_+.$$

Эти остатки переходят в запасы топлива на начало следующего отопительного периода с учетом коэффициента потерь  $\alpha$ :

$$(29) \quad S_f = \min \{(1 - \alpha)H_f; z\},$$

где  $Z$  – емкость складов многолетнего регулирования запасов (сверх емкости для хранения сезонных запасов). В представленных здесь расчетах емкость складов многолетнего регулирования принята равной половине среднегодовой потребности в топливе на отопление.

Математическое ожидание дефицита вычисляем по формуле

$$(30) \quad MD = \frac{1}{F} \sum_{f=1}^F D_f.$$

Обозначим за  $TD$  множество номеров испытаний

$$(31) \quad TD = \sum_{f=1}^F sign(D_f),$$

при которых возникает дефицит. Здесь:

$$(32) \quad \begin{aligned} sign(x) &= 1, \text{ если } x > 1; \\ sign(x) &= 0, \text{ если } x = 0. \end{aligned}$$

Величина  $PD = \frac{TD}{F}$  является оценкой вероятности появления дефицитных ситуаций.

Пусть  $r$  – резерв мощностей в долях от  $\bar{R}$ , тогда

$$(33) \quad \hat{R} = (1+r)\bar{R},$$

$$(34) \quad R \in [(1+r)R_1, (1+r)R_2]$$

Вероятность объемов производства топлива с учетом их возрастания из-за введения резервов мощностей определяется по правилу

$$(35) \quad \rho(R) = \rho(\hat{R}), \text{ при } R = (1+r)\hat{R}.$$

Общие затраты будут состоять из приведенных затрат на резервирование и математического ожидания ущербов от дефицита:

$$(36) \quad F(r) = \Delta C(r) + MY(r).$$

1. Затраты на резервирование

$$(38) \quad \Delta C(r) = C(\bar{R}(1+r)) - C(\bar{R}),$$

где  $C$  – приведенные затраты на топливоснабжение в зависимости от математического ожидания поставок топлива.

2. Математическое ожидание ущербов от дефицитов

$$(37) \quad MY(r) = MDy,$$

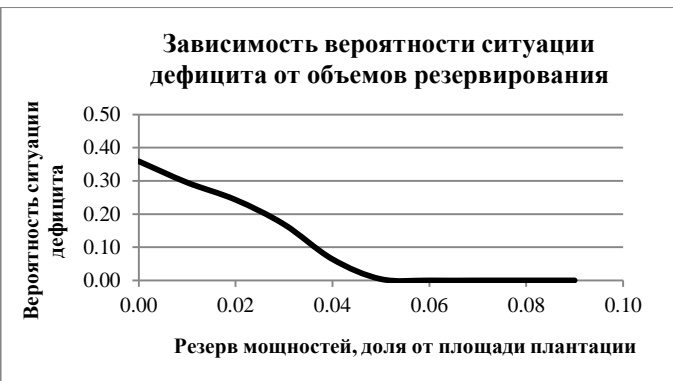
где  $y$  – удельные ущербы.

### 2.3. Оценка оптимального состава средств резервирования

При среднеожидающем значении урожайности в 680 т.у.т. с 1 кв.км.[5], среднеожидаемая величина поставок топлива к отопительному периоду  $\bar{R}$  и среднеожидаемая потребность в топливе на отопление  $\hat{Q}$  составляют 3354 т.у.т. на поселок (при численности населения 3 тысячи человек).

*Таблица 3. Затраты на резервирование и математическое ожидание ущерба от дефицита в зависимости от резерва мощностей*

| Резерв мощностей                      | 0,00  | 0,02  | 0,03 | <b>0,04</b> | 0,05 | 0,06 |
|---------------------------------------|-------|-------|------|-------------|------|------|
| Затраты на резервирование             | 0,00  | 0,11  | 0,17 | <b>0,23</b> | 0,29 | 0,34 |
| М.о. ущерба от дефицита               | 0,64  | 0,30  | 0,15 | <b>0,03</b> | 0,00 | 0,00 |
| Суммарные затраты                     | 0,64  | 0,41  | 0,32 | <b>0,26</b> | 0,29 | 0,34 |
| Вероятность дефицита с учетом запасов | 0,36  | 0,24  | 0,17 | <b>0,06</b> | 0,00 | 0,00 |
| М.о. запасов                          | 490,1 | 672,7 | 784  | <b>915</b>  | 1122 | 1343 |



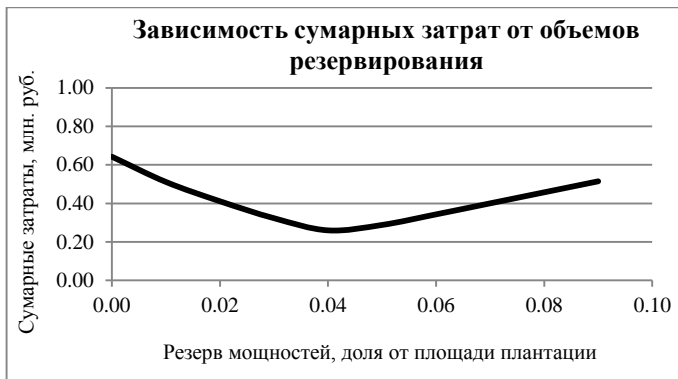
*Рис.1. Зависимость вероятности дефицита от объемов резервирования*

Вероятность возникновения ситуации дефицита составляет 36%, математическое ожидание ситуации дефицита – 64 т.у.т.

Из Таблицы 3 и Рис. 1 видим, что при увеличении резервов мощностей, вероятность дефицита монотонно уменьшается.



*Рис.2. Зависимость затрат на резервирование и математического ожидания ущерба при дефиците от резерва мощностей*



*Рис.3. Зависимость суммарных затрат от объемов резервирования*

На Рис. 2 видно, что с увеличением резерва мощностей математическое ожидание ущербов от дефицита уменьшается, в то время как затраты на резервирование увеличиваются. При росте резерва мощностей сначала происходит сокращение суммарных затрат за счет снижения математического ожидания ущербов от дефицита. Затем суммарные затраты начинают возрастать вследствие привалирования в них роста затрат на резервирование. (см.Рис. 3).

Как видно из Рис.3, в точке минимума суммы двух функций (затрат на резервирование и ущерба от ситуации дефицита) резерв мощностей составляет 4%, в этом случае вероятность ситуации дефицита составляет 0,06.

## **Литература**

1. ГУБИЙ Е.В., ЗОРКАЛЬЦЕВ В.И. *Создание математической модели для анализа эффективности*

энергетических лесов / Современные технологии. Системный анализ. Моделирование. – Иркутск, 2012. - № 2(34). – С. 80-82.

2. ЗОРКАЛЬЦЕВ В.И. Анализ колебаний потребности в топливе на отопление по экономическим районам СССР на основе многолетних наблюдений температур. // Методы оптимизации и их приложения: труды XII Байкальской Международной конференции. – Иркутск, 2001.– С.143–157.
3. Методические указания по определению расходов топлива, электроэнергии и воды на выработку теплоты строительными котельными коммунальных теплоэнергетических предприятий. - М.: ОНТИ АКХ им. К.Д. Памфилова, 1987. - 95 с.
4. ЦИВЕНКОВА Н.М., САМЫЛИН А.А. Быстрорастущие плантации тополя – новая энергетическая сырьевая база // ЛесПромИнформ, 2005. – №8. – С. 58–63.